

Figure 5 . Contrainte de cisaillement de la pyrophyllite
du cuivre et du plomb en fonction d'un effort de
compression.

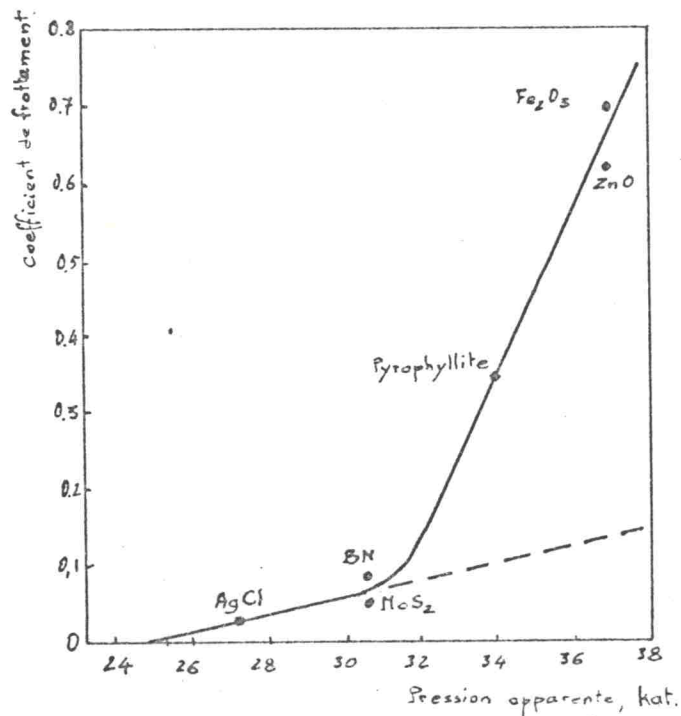


Figure 6 . Pression apparente nécessaire pour
obtenir la transition $B_{II} \rightarrow B_{I}$ en fonction du coefficient
de frottement interne.